

MAREN KAMKE, NORBERT HEINE & MATTHIAS REUL

Drei bemerkenswerte Dungpilzfunde auf dem 9. Dünen- und Dungpilzworkshop 2019 in Sachsen-Anhalt

KAMKE M, HEINE N, REUL M (2021): Three remarkable finds of coprophilous fungi during the 9th Dune- and Fimicolous Fungi Workshop 2019 in Saxony-Anhalt – *Boletus* **42**(1): 41-51.

Keywords: Saxony-Anhalt, *Hypocypa merdaria*, *Poronia punctata*, *Sporormiella octonalis*, fimicolous fungi.

Abstract: The 9th Dune Mycological Workshop took place in the town of Neudorf which is situated in the Harz in Saxony-Anhalt (Germany). Collections of three remarkable finds from Saxony-Anhalt are presented, illustrated and described. Based on the findings, short descriptions as well as microscopic and macroscopic photos are presented.

Zusammenfassung: Der 9. Dünenpilzworkshop fand vom 31.10 - 02.11.2019 in Sachsen-Anhalt statt. Ausgangsort war Neudorf im Kreis Harz. Es werden Aufsammlungen von drei bemerkenswerten Funden veranschaulicht und beschrieben. Basierend auf den vorliegenden Funden, werden Kurzbeschreibungen, sowie mikroskopische und makroskopische Fotos präsentiert.

Einleitung

Zum traditionellen Dünenpilzworkshop 2019 trafen sich erstmals Dünen- und Dungpilzfreunde gemeinsam. Die Kombination aus Dünen- und Dungpilzworkshop hat sich großartig bewährt und wird in dieser Form auch künftig weitergeführt. Dünen und Trockenrasen sind schließlich auch für Dungpilzfreunde interessant, da durch das zeitweise austrocknende Substrat viele an Trockenstandorte angepasste Dungpilz-Arten gefunden werden können. Mit 197 Pilzarten war der Workshop trotz der anhaltend trockenen Bodenverhältnisse recht erfolgreich. Insgesamt konnten während der Exkursionen in den sehr interessanten Trockenrasengebieten allein 70 Pilzarten an Dung nachgewiesen werden. Für eine Momentaufnahme ist das ein überragendes Ergebnis (Tab. 1).

Tab.1 Nachgewiesene coprophile Pilze während des Dünen- und Dungpilzworkshop

Auf Fett gedruckte Arten wird in dieser Arbeit näher eingegangen.

Die Exkursionsgebiete werden wie folgt abgekürzt:

- QSW = 31.10.2019 – Quedlinburg: Seweckenberge am Ochsenkopf (MTB 4233/132)
- QPF = 01.11.2019 – Quedlinburg: Pferdekoppel am Ortsrand (MTB 4232/212)
- TST = 01.11.2019 – Thale: Quedlinburger Stadtwald Tongrube Südrand (MTB 4232/214)
- TWT = 01.11.2019 – Thale: OT Weddersleben NSG Teufelsmauer (MTB 4232/233)
- TWS = 02.11.2019 – Thale: Warnstedter Sandgrube (MTB 4232/142)

Tage = Die Anzahl der Tage bis zum Erscheinen der Pilze in der Feuchtekammer. Funde ohne Angabe wurden unmittelbar am Substrat festgestellt.

Autoren:

Maren Kamke, An de Wurth 24, D-24244 Felm, E-Mail: kontakt@pilzmaus.de

Norbert Heine, Hetzdorfer Str. 2, D-01723 Grund, E-Mail: nobi.h@web.de

Matthias Reul, Ostenstraße 19, D-95615 Markredwitz, E-Mail: matthias-reul@live.de

Art	Substrat	Tage	Gebiet	leg./det.
Ascomycota				
<i>Arnium arizonense</i> (Griffiths) N. Lundq. & J.C. Krug	Schaf	9	QSW	W. Huth
<i>Arthrotritys oligospora</i> Fresen.	Wildkaninchen	11	QSW	E. Huth
<i>Cercophora septentrionalis</i> N. Lundq.	Pferd		QPF	N. Heine
<i>Cercophora silvatica</i> N. Lundq.	Pferd	16	QPF	E. Huth
<i>Cephalotrichum microsporium</i> (Sacc.) P.M. Kirk	Hase		TWT	E. Huth
<i>Coniochaeta vagans</i> (Carestia & De Not.) N. Lundq.	Schaf		QSW	N. Heine
<i>Coprotus ochraceus</i> (P. Crouan & H. Crouan) Kar. Larsen	Hase	19	TST	N. Heine
<i>Coprotus sexdecimsporus</i> (P. Crouan & H. Crouan) Kimbr. & Korf	Hase Pferd Schaf		TST QPF QPF	N. Heine N. Heine N. Heine
<i>Delitschia didyma</i> Auersw.	Schaf	24	QSW	N. Heine
<i>Delitschia marchalii</i> Berl. & Voglino	Hase Schaf		TWS QSW	E. Huth N. Heine
<i>Delitschia winteri</i> (W. Phillips & Plowr.) Sacc.	Schaf Wildkaninchen		QSW QSW	M. Kamke E. Huth
<i>Hypocopra brefeldii</i> Zopf	Hase		TWS	N. Heine
<i>Hypocopra merdaria</i> (Fr.) J. Kickx f.	Schaf Wildkaninchen	9	QSW QSW	M. Kamke E. Huth
<i>Iodophanus carneus</i> (Pers. : Fr.) Korf	Schaf Wildkaninchen		QSW QSW	N. Heine E. Huth
<i>Iodophanus verrucosporus</i> (P.W. Graff) Kimbr., Luck-Allen & Cain	Schaf		QSW	W. Huth
<i>Oedocephalum pallidum</i> (Berk. & Broome) Cost.	Wildkaninchen		QSW	E. Huth
<i>Peziza fimeti</i> (Fuckel) Seaver	Pferd		QPF	W. Huth
<i>Podospora australis</i> (Speg.) Niessl	Hase Pferd Schaf Wildkaninchen	9 - 19	TST QPF QSW QSW	N. Heine E. Huth E. Huth N. Heine
<i>Podospora communis</i> (Speg.) Niessl	Schaf		QSW	W. Huth
<i>Podospora decipiens</i> (G. Winter ex Fuckel) Niessl	Pferd Schaf Wildkaninchen	9 – 20	QPF QSW QSW	E. Huth N. Heine E. Huth
<i>Podospora myriospora</i> (P. Crouan & H. Crouan) Niessl	Hase		TST	N. Heine
<i>Podospora pauciseta</i> (Ces.) Traverso	Hase	6	TWS	E. Huth
<i>Podospora pleiospora</i> (G. Winter) Niessl	Hase	9	TST	N. Heine
<i>Podospora setosa</i> (G. Winter) Niessl	Hase		TWS	E. Huth
<i>Poronia punctata</i> (L.) Fr.	Schaf		QSW	N. Heine
<i>Preussia fleischhakii</i> (Auersw.) Cain	Hase	6	TWS	E. Huth
<i>Pseudombrophila bulbifera</i> (E.J. Durand) Brumm.	Hund		TWS	P. Welt/ N. Heine
<i>Pseudombrophila cervaria</i> (W. Phillips) Brumm.	Reh	10	TWS	E. Huth
<i>Saccobolus depauperatus</i> (Berk. & Broome) E.C. Hansen	Reh Pferd	14	TWS QPF	E. Huth N. Heine
<i>Saccobolus minimus</i> Velen.	Pferd		QPF	E. Huth
<i>Saccobolus versicolor</i> (P. Karst.) P. Karst.	Hase	8	TWS	N. Heine
<i>Schizothecium conicum</i> (Fuckel) N. Lundq.	Pferd Schaf	5	QPF QSW	N. Heine E. Huth
<i>Schizothecium minioglutinans</i> (J.H. Mirza & Cain) N. Lundq.	Schaf Wildkaninchen	11 – 25	QSW QSW	E. Huth E. Huth
<i>Schizothecium tetrasporum</i> (G. Winter) N. Lundq.	Maus Maus Wildkaninchen	10 – 16	QSW TST QWS	W. Huth N. Heine E. Huth
<i>Schizothecium vesticola</i> (Berk. & Broome) N. Lundq.	Hase Pferd Schaf	13 – 20	TWS QPF QSW	E. Huth N. Heine E. Huth

<i>Sordaria fimicola</i> (Roberge) Ces. & De Not.	Hase Pferd Reh Wildkaninchen	10 – 16	TWT QPF TWT QSW	E. Huth E. Huth N. Heine E. Huth
<i>Sordaria humana</i> (Fuckel) G. Winter	Hund Reh Schaf Wildkaninchen	10	TWS TWS QSW QSW	P. Welt/ N. Heine E. Huth E. Huth E. Huth
<i>Sordaria macrospora</i> Auersw.	Hase Maus		TWT TST	E. Huth N. Heine
<i>Sordaria superba</i> De Not.	Hase		TWT	W. Huth
<i>Sporormiella australis</i> (Speg.) S.I. Ahmed & Cain	Hase Wildkaninchen	19	TST QSW	E. Huth E. Huth
<i>Sporormiella capybarae</i> (Speg.) S.I. Ahmed & Cain	Pferd	10	QPF	E. Huth
<i>Sporormiella dubia</i> S.I. Ahmed & Cain	Pferd		QPF	E. Huth
<i>Sporormiella grandispora</i> S.I. Ahmed & Cain ex J.C. Krug	Hase Pferd	8	TWS QPF	E. Huth N. Heine
<i>Sporormiella intermedia</i> (Auersw.) S.I. Ahmed & Cain	Hase Pferd Schaf Wildkaninchen	6	TST QPF QSW QSW	E. Huth E. Huth M. Reul E. Huth
<i>Sporormiella lageniformis</i> (Fuckel) S.I. Ahmed & Cain	Pferd		QPF	N. Heine
<i>Sporormiella longispora</i> (Cain) S.I. Ahmed & Cain	Hase	6	TWS	E. Huth
<i>Sporormiella longisporopsis</i> S.I. Ahmed & Cain	Hase Wildkaninchen		TWT TST	E. Huth W. Huth
<i>Sporormiella megalospora</i> (Auersw.) S.I. Ahmed & Cain	Hase Schaf		TST QSW	N. Heine E. Huth
<i>Sporormiella minima</i> (Auersw.) S.I. Ahmed & Cain	Hase Pferd Reh Schaf Wildkaninchen	14	TWS QPF TWS QSW QSW	E. Huth E. Huth E. Huth M. Reul E. Huth
<i>Sporormiella octonalis</i> S.I. Ahmed & Cain	Schaf		QSW	M. Reul
<i>Sporormiella pulchella</i> (E.C. Hansen) S.I. Ahmed & Cain	Hase		TST	E. Huth
<i>Sporormiella teretispora</i> S.I. Ahmed & Cain	Hase		TWS	E. Huth
<i>Stilbella fimetaria</i> (Pers.) Lindau	Maus		QSW	N. Heine
<i>Thecothous pelletieri</i> (P. Crouan & H. Crouan) Boud.	Pferd		QPF	N. Heine
<i>Thelebolus crustaceus</i> (Fuckel) Kimbr.	Maus Wildkaninchen	9	QSW QSW	E. Huth E. Huth
<i>Thelebolus dubius</i> var. <i>lagopi</i> (Rea) Doveri	Wildkaninchen	11	QSW	E. Huth
<i>Thelebolus stercoreus</i> Tode	Reh Wildkaninchen		TST QSW	N. Heine E. Huth
<i>Trichobolus zukalii</i> (Heimerl) Kimbr.	Reh		TST	N. Heine
<i>Trichodelitschia minuta</i> (Fuckel) N. Lundq.	Schaf		QSW	M. Reul
Basidiomycota				
<i>Coprinellus pusillulus</i> (Svrček) Házi, L. Nagy, T. Papp & Vágvölgyi	Reh Pferd		TWS QPF	E. Huth N. Heine
<i>Coprinopsis cordispora</i> (T. Gibbs) Gminder	Pferd		QPF	N. Heine
<i>Coprinopsis radiata</i> (Bolton) Redhead, Vilgalys & Moncalvo	Pferd		QPF	N. Heine
<i>Coprinopsis stercorea</i> (Fr.) Redhead, Vilgalys & Moncalvo	Reh		TWS	E. Huth
<i>Cyathus olla</i> (Batsch) Pers.	Hase		TST	E. Huth/ W. Huth
<i>Deconica coprophila</i> (Bull.) P. Karst.	Pferd	16	QPF	E. Huth
<i>Panaeolus papilionaceus</i> (Bull.) Quél.	Pferd		QPF	W. Huth
<i>Parasola misera</i> (P. Karst.) Redhead, Vilgalys & Hopple	Schaf	25	QSW	M. Reul
Mucoromycota				
<i>Pilaira moreaui</i> Y. Ling	Wildkaninchen		QSW	E. Huth
<i>Pilobolus crystallinus</i> (F.H. Wigg.) Tode	Reh Wildkaninchen		TWS QSW	E. Huth E. Huth
<i>Pilobolus oedipus</i> Mont.	Pferd		QPF	N. Heine

Material und Methoden

Die Aufsammlungen wurden in frischem und in rehydriertem Zustand in Leitungswasser untersucht. Die mikroskopischen Merkmale wurden durch Schnitt- und Quetschpräparate der frischen Fruchtkörper bei 400-, 500- und 1.000-facher Vergrößerung beurteilt. Die Mikromessungen wurden mit Ölimmersionsobjektiv (100x) und 10-fachem Okular anhand von Fotos mit darübergelegter geeichter Mikrometerskala durchgeführt. Zur Überprüfung der Ascus-Reaktion wurde Lugol bzw. Baral'sche Lösung verwendet.

Um zu einer besseren Sichtbarkeit der Mikromerkmale zu gelangen, wurden die Mikrobilder zum Teil gestackt. Aus einzelnen Fotos wurden störende Elemente mit Adobe Photoshop Elements 8.0 entfernt. Helligkeitsanpassungen fanden an manchen Stellen ebenfalls mit diesem Programm statt. Die Makroaufnahmen wurden mit einer Olympus Tough TG-5 hauptsächlich im Focus-Stacking-Modus aufgenommen.

Der aufgefundene Dung wurde zunächst auf vorhandene Pilze untersucht und danach in einer Feuchtekammer gelagert. Nach regelmäßiger Beobachtung wurden die sich nach und nach entwickelnden Pilze ebenfalls untersucht.

Bemerkenswerte Arten

Als besonders ergiebig in Hinsicht auf coprophile Pilze erwies sich das LSG Seweckenberge, welches aus einigen dem Harz vorgelagerten Höhenzügen nördlich von Quedlinburg besteht. Eine ausführliche Gebietsbeschreibung findet sich in SPECHT et al. (2016).

Dank intensiver Schafbeweidung war das Gebiet mit einer Vielzahl von Kotteln übersät, an denen wir dortinsgesamt 25 Pilzarten entdeckten. Drei davon werden nachfolgend näher vorgestellt.



Abb 1.: Matthias Reul, Eberhard und Wolfgang Huth schauen sich Schafdung an.

Foto: N. HEINE

Funddaten aller abgebildeten Pilze

Sachsen-Anhalt: Kreis Quedlinburg, Seweckenberge am Ochsenkopf (MTB 4233/132), 51°46'14.8"N 11°11'27.1"E, 170m ü NN, an altem Schafdung im Steppenrasen, 31.10.2019, leg. & det. M. Kamke, M. Reul & N. Heine.

Poronia punctata (L.) Fr.

Immer wieder etwas Besonderes ist die **Punktierte Porenscheibe** (*Poronia punctata*), die wir in großen Mengen an Schafdung fanden. Dies ist insofern bemerkenswert, da die Art in der Regel an Pferdedung fruktifiziert.

Für die mikroskopische Untersuchung wurde nicht der abgebildete Fund (Abb. 2), sondern eine Aufsammlung aus Schleswig-Holstein an Pferdeäpfeln herangezogen.

Untersuchter Beleg:

Schleswig-Holstein, Dägeling Nordoer Heide (TÜP) NW Dägeling Kreis Steinburg (MTB 2123/113), N53° 52' 59.118" E9° 30' 36.529", 20 m ü. NN, auf Pferdedung, 01.12.2015, leg. & det. M. Labischinski, Herbar M. Kamke 527/15-MK.



Abb. 2: Punktierte Porenscheibe (*Poronia punctata*) – Standortaufnahmen

Fotos: N. HEINE

In Ergänzung zu SPECHT et al. (2016) geben wir hier eine Beschreibung der Art.

Makroskopische Beschreibung: Stromata nagel- bis kreiselförmig, 2,5-15 mm breit, meist mit kurzem, breitem, sich basal verjüngendem Stiel, der tief in das Substrat eingesenkt ist. Außenseite schwarzbraun, etwas rauhaarig, längsgefurcht. Oberseite weißlich, jung gewölbt, dann flach bis tellerartig durch die eingesenkten, schwarzen, unregelmäßig verteilten Perithezien, wie punktiert erscheinend, Rand zum Teil wellig.

Mikroskopische Beschreibung: Stromata innen mit hyalinen bis gelbbraunen, zylindrischen, sehr dickwandigen, 3,5-6 µm breiten Hyphen, außen mit einer etwa 80 µm dicken Schicht, aus dicht verwobenen dunkelbraunen, dickwandigen, septierten, 3-5 µm breiten Hyphen überzogen. Perithezien 0,3-0,6 mm x 0,2-0,5 mm, bis auf die Ostiole im Stroma eingesenkt, rund, Wand hellbraun, aus zwei Schichten bestehend, Exoperidie aus Textura intricata aus verwobenen, hellbraunen Hyphen, Endoperidie aus Textura angularis aus polygonalen, hyalinen Zellen. Die Ostiole ist mit zahlreichen Periphysen ausgekleidet. Asci 8-sporig, zylindrisch, basal in einem kurzen Stiel auslaufend, 120-220 x 15-23 µm, inoperculat, Apikalapparat in Baral'scher Lösung deutlich blau. Ascosporen schwarzbraun, uniseriat angeordnet, elliptisch, mit einer Größe von 21,7-25,2 x 10,1-12 µm, im Durchschnitt 22,8 x 10,7 µm (nach Literatur besteht eine Bandbreite von 17-28 x 6-14 µm), mit einem etwa 10 µm (nach Literatur bis 15 µm) langen Keimschlitz, der den Sporenrand nicht erreicht, von einer ovalen Gelhülle umgeben. Paraphysen zahlreich, septiert hyalin, bis 7 µm breit.

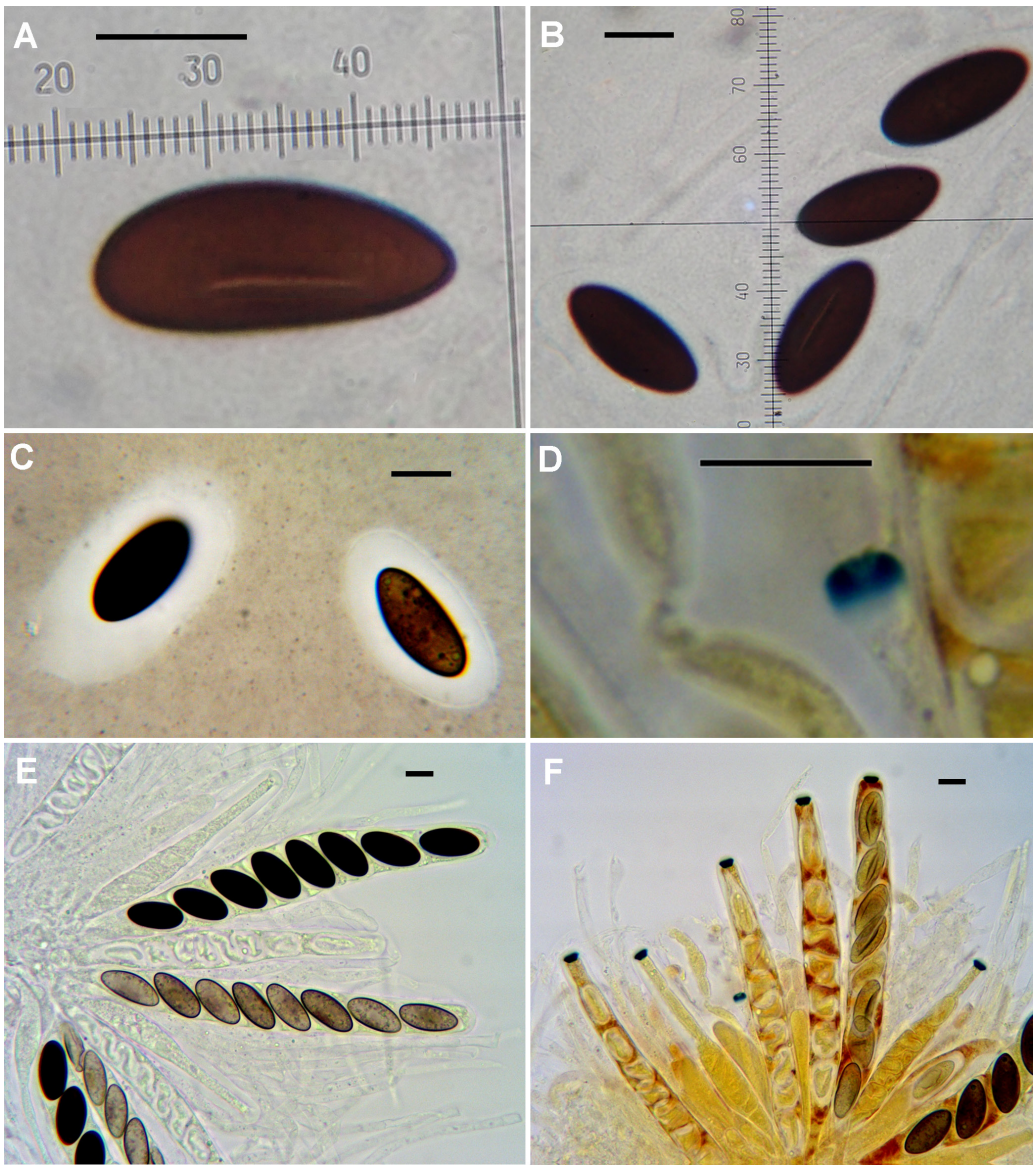


Abb. 3: Mikromerkmale von *Poronia punctata* – **A, B:** Sporen in Wasser – **C:** Sporen mit Schleimhülle in Indian Ink – **D:** Ascusporus in Baral'scher Lösung, – **E, F:** Asci und Paraphysen in Wasser und in Baral'scher Lösung; Maßstab jeweils 10 µm
Fotos: M. KAMKE

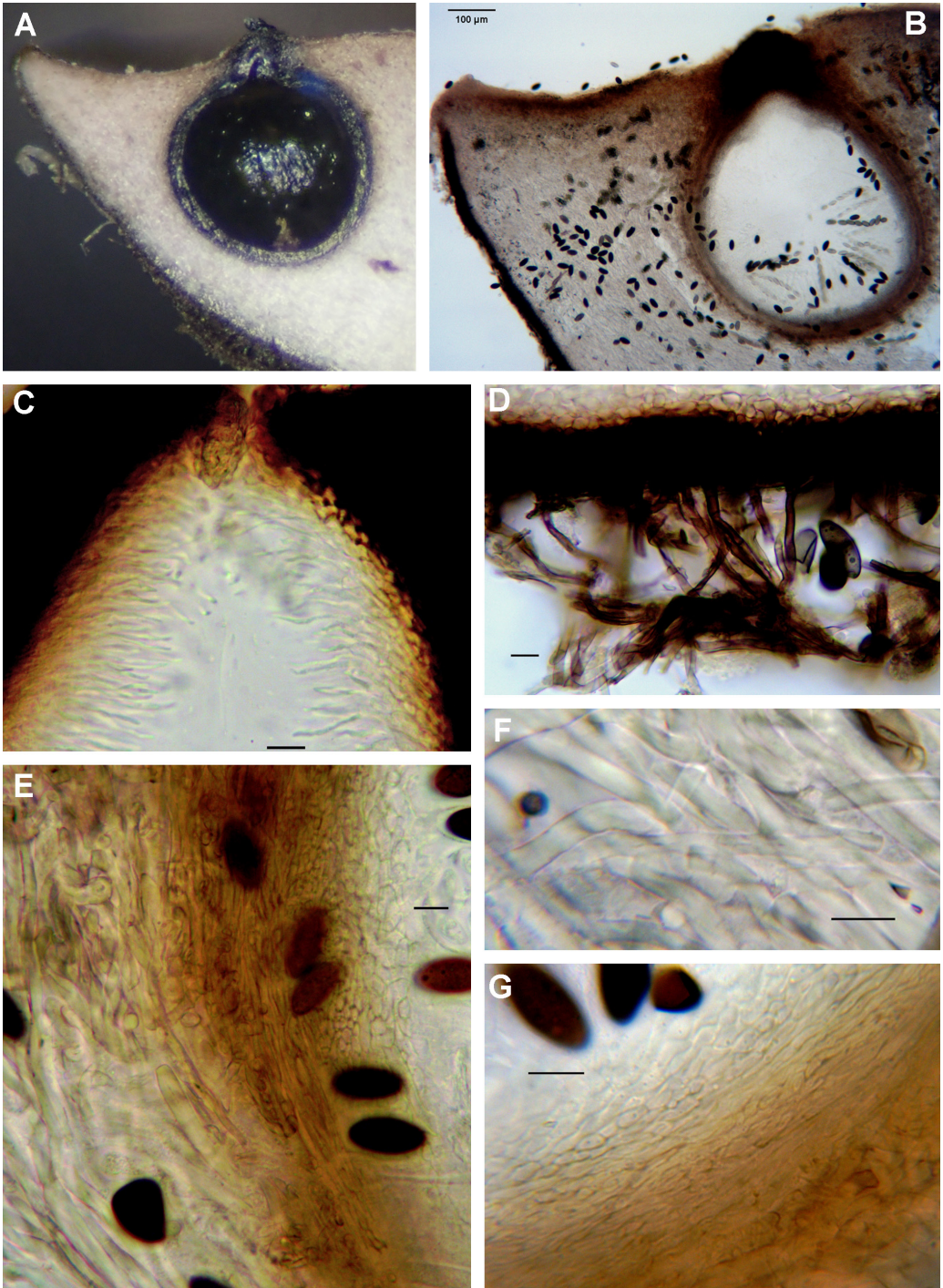


Abb. 4: Makro- und Mikromerkmale von *Poronia punctata* – **A, B:** Fruchtkörperschnitt – **C:** Ostiole mit Periphysen – **D:** Tomentum des Stromas – **E, G:** Perithezienwand – **F:** Stromahyphen; Maßstab jeweils 10 µm, soweit nicht anders angegeben.
Fotos: M. KAMKE

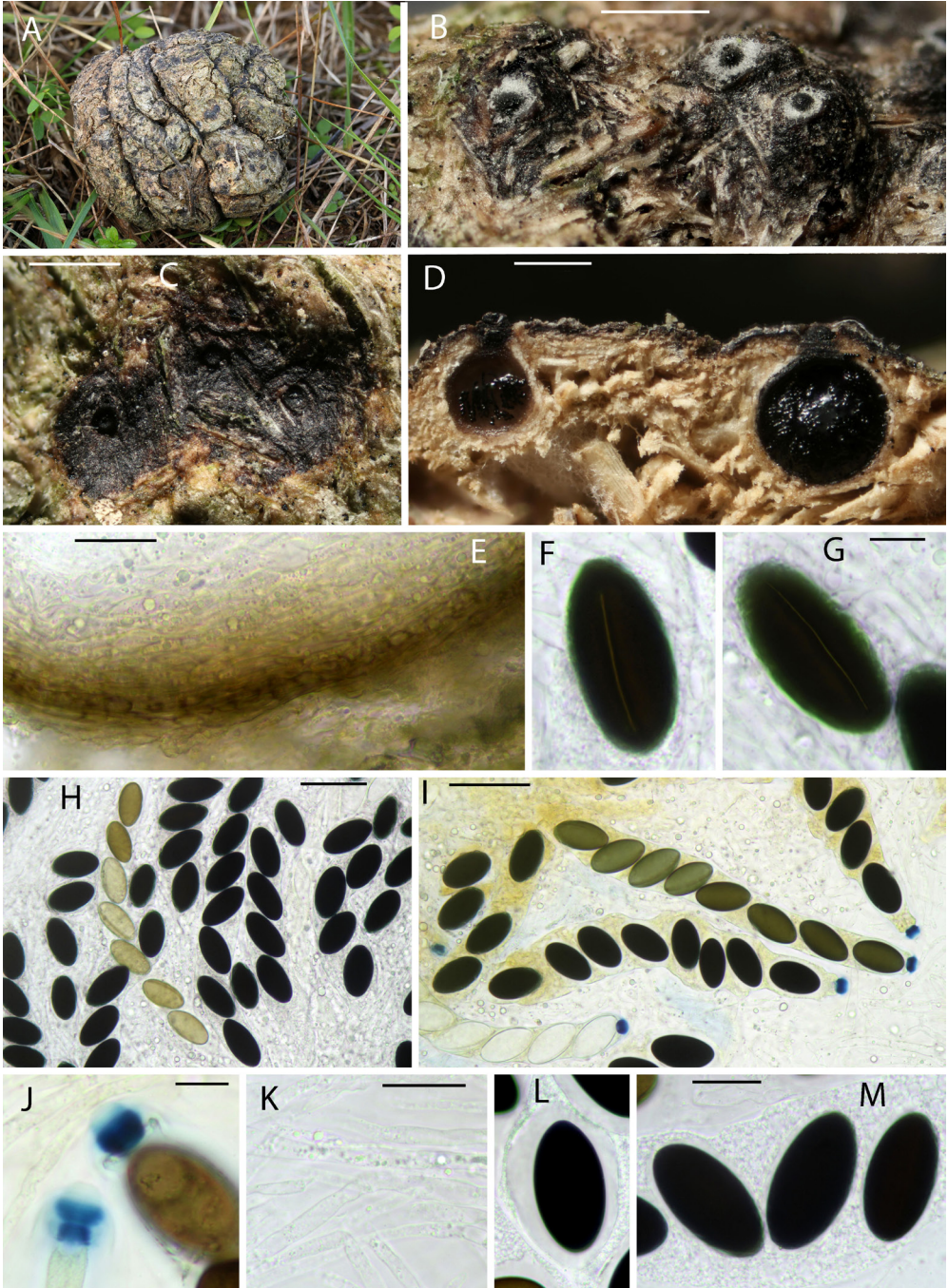
***Hypocpra merdaria* (Fr.) J. Kickx f. 1867**

Abb. 5: Makro- und mikroskopisches Erscheinungsbild von *Hypocpra merdaria* – **A:** Substrat Schafdung – **B-D:** Perithezien, – **E:** Perithezienwand, – **F-H, M:** Ascosporen – **L:** mit Gelhülle – **I, J:** Asci und Ascus-Reaktion in Lugol – **K:** Paraphysen; Skala: B, C: 1 mm, D: 500 µm, E: 20 µm, G: 10 µm, H, I: 50 µm, J: 10 µm, K-M: 20 µm.
Fotos: M. REUL

Makroskopische Beschreibung: Stromata dünn, in das Substrat eingesenkt, mit jeweils einem Perithezium, wobei mehrere Stromata sehr dicht aneinander wachsen können. Perithezien schwarz, eingesenkt, bis ca. 900 µm Durchmesser, mit kleinem, apikal abgerundetem Halsenteil. In feuchter Kammer entwickelte sich apikal um die Perithezien ringförmig ein weißer Filz.

Mikroskopische Beschreibung: Peridie im Querschnitt aus mehreren Schichten bestehend, äußerste Schicht dabei bis ca. 12 µm, alle Schichten zusammen mind. bis 40 µm dick. Zellen der äußersten Schicht dünn, bis ca. 4 µm breit, die der inneren Schichten heller und bis mind. 30 x 20 µm. Paraphysen zahlreich, hyalin, 4-7,5 µm breit. Asci zylindrisch, bis 300 x 30-40 µm, Apikalapparat in Lugol deutlich blau, bis 10,5 µm breit, meist in einen breiteren apikalen und einen schmälere basalen Teil gegliedert. Ascosporen uni- und biserial angeordnet, elliptisch, zweizellig, auf einer Seite oft etwas abgeflacht, sehr variabel in der Größe, 34-46 x 18-22 µm, zunächst bräunlich, bei Reife schwarz werdend. Keimspalte dünn, mittel bis sehr lang, 26-38 x < 1 µm. Basalzelle bis 4 x 2 µm, hyalin und besonders bei Reife kaum sichtbar. Gelhülle besonders in jungem Zustand in Wasser sichtbar, dann als 3-8 µm breiter Ring um die Sporen zu sehen.

Diskussion

Vertreter der zu den *Xylariales* Nannf. gehörenden, coprophilen Gattung *Hypocopra* (Fr.) J. Kick f. sind oft nicht leicht zu bestimmen. Wichtig sind neben der Perithezienanzahl, der Sporengröße und -form auch noch die Ausprägung und Länge der Keimspalte, das Vorhandensein einer kleinen zweiten Zelle sowie die Reaktion des Ascus-Porus in Lugol. Innerhalb der Arten mit großen Sporen ab 30-40 µm haben *Hypocopra stercoraria* (Sowerby) Fuckel und *Hypocopra brevilineata* Munk einzellige Sporen, die bei letzterer zudem deutlich breiter sind.

Hypocopra stercoraria und *Hypocopra elachyglossina* J. C. Krug & Cain besitzen Stromata mit mehreren Perithezien. Die Länge der Keimspalte dieser Arten von 30-32 µm wird dagegen bei der vorgestellten Kollektion von *Hypocopra merdaria* problemlos erreicht und sogar überschritten, obwohl *H. merdaria* normalerweise etwas kürzere Keimspalten von 26-29 µm aufweist (Doveri 2004). Die auch in weiteren Merkmalen abweichende *Hypocopra festuacea* J.C. Krug & Cain und *Hypocopra dakotensis* Griffiths haben schmalere Sporen unter 20 µm Länge. Die Sporen von *Hypocopra kansensis* Ellis & Everh. sind deutlich größer (bis 60 µm lang).

Sporormiella octonalis S.I. Ahmed & Cain

Beschreibung: Perithezien in das Substrat eingesenkt, rundlich, etwa 230 µm Durchmesser. Peridie in Aufsicht aus +/- eckigen Zellen, diese mit ca. 5-12 µm Durchmesser, im Durchlicht rötlichbraun. Asci bitunikat, 8-sporig, bis ca. 200 x 30 µm, kurzstielig.

Paraphysen hyalin, fädig, bei Sporenreife zunehmend zerfallend. Ascosporen in mehreren Reihen im Ascus angeordnet, 47-54 x 12-14 µm, konstant 8-zellig, apikale und basale Zelle breit gerundet, dritte Zelle verdickt, mit schräg gewundener Keimspalte, bei Reife zunehmend dunkelbraun, auch dann nicht in Einzelzellen zerfallend. Alle Zellen, besonders die mittleren sind deutlich breiter als lang. Gelhülle dünn, gleichmäßig.

Diskussion

Innerhalb der artenreichen überwiegend auf Dung spezialisierten Gattung *Sporormiella* Ellis & Everh. werden im Schlüssel von DOVERI & SARROCCO (2013) allein 19 Arten mit konstant 8-zelligen Sporen genannt.

Sporormiella octonalis zeichnet sich durch kurzstielige Asci sowie andere Merkmale der Sporenzellen aus: die dritte Zelle ist verdickt, die Endzellen breit abgerundet und alle breiter als lang.

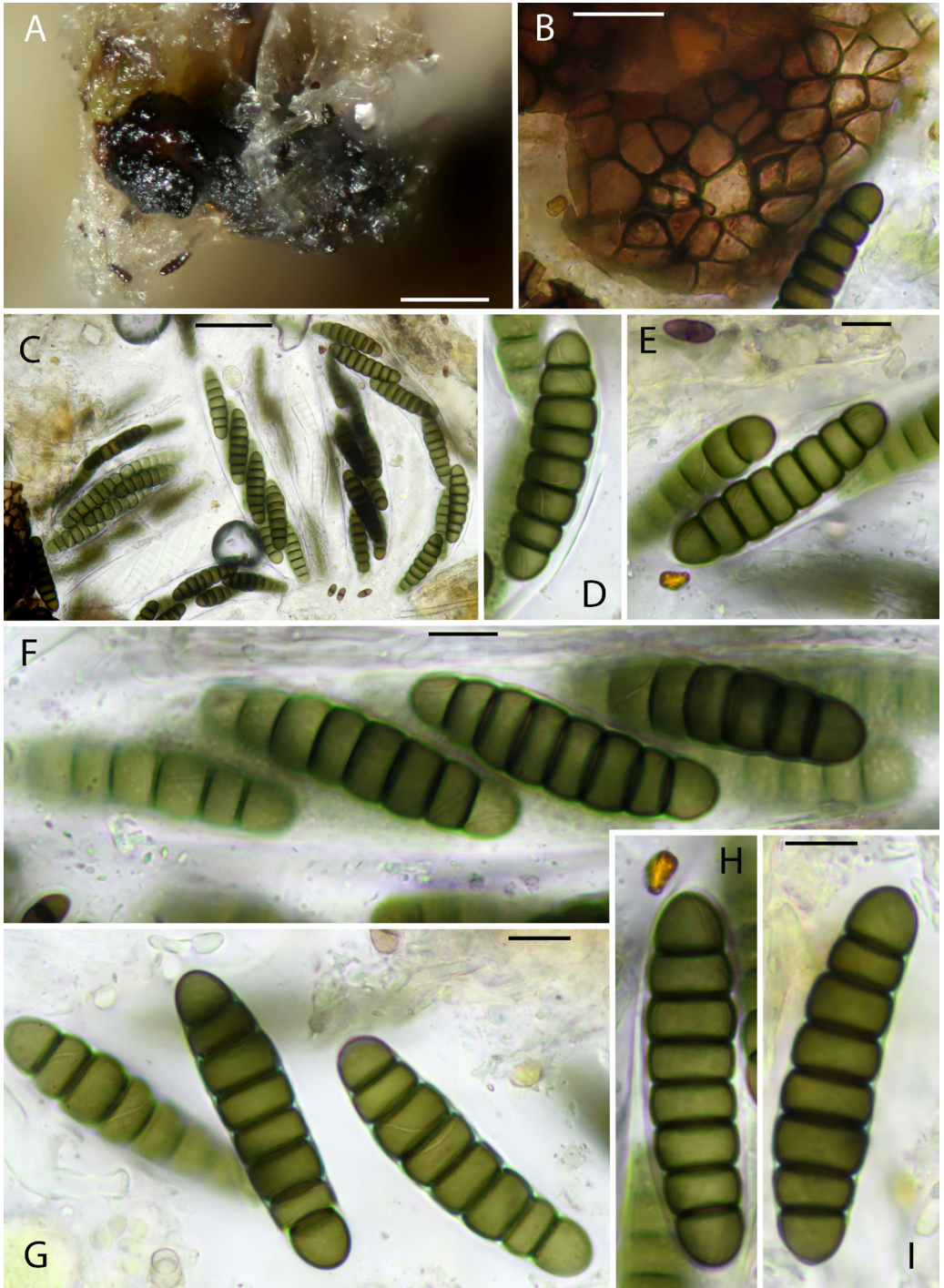


Abb. 6: Makro- und mikroskopisches Erscheinungsbild von *Sporormiella octonalis* – **A:** Perithezien – **B:** Perithezi-
 enwand – **C:** Asci – **D-I:** Ascosporen; Skala: A = 100 µm, B = 20 µm, C = 50 µm, E-I = 10 µm Fotos: M. REUL

Der vorgestellte Fund bestand nur aus einem reifen Einzel Exemplar, sicherlich wäre die Variabilität der Sporengröße bei mehr Material noch größer. So werden in der Literatur folgende Maße genannt: $48,5\text{-}63 \times 12,5\text{-}14,5 \mu\text{m}$ (DOVERI 2004), $48\text{-}58 \times 12\text{-}14 \mu\text{m}$ (AHMED & CAIN 1972).

Dank

Unser Dank gilt Hartmut Schubert und Silke Uthleb (Harzgerode) für die Organisation des Workshops, Torsten Richter (Rehna) für das Gruppenbild (Abb. 7) sowie Maria Labischinski (Itzehoe) für die Überlassung des Belegs von *Poronia punctata* aus Schleswig-Holstein.



Abb.7: Von links – Norbert Heine, Klaus Büchler, Eberhard Huth, Hartmut Schubert, Silke Uthleb, Dagmar Detloff-Scheff, Wolfgang Huth, Maren Kamke, Katrin Richter, Peter Welt, Matthias Reul, Ute Kropf, Torsten Richter, Geert Schmidt-Stohn und Christopher Engelhardt
Foto: T. RICHTER

Literatur

- AHMED SI, CAIN RF(1972): Revision of the genera *Sporormia* and *Sporormiella*. – Canadian Journal of Botany **50**: 419-477.
- DOVERI F (2004): Fungi fimicoli Italic. – AMB, Fondazione Studi Micologici, Vicenza. 1104 S.
- DOVERI F, SARROCCO S (2013): *Sporormiella octomegaspora*, a new hairy species with eight-celled ascospores from Spain. – Mycotaxon **123**: 129-140.
- SPECHT P, SCHUBERT H, WANDEL T (2016): Erster Nachweis von *Poronia punctata* auf Schafdung. – Zeitschrift für Mykologie **82**(1): 135-143.